

решение которого возможно только численное. Для реализации численного решения может быть предложен подход перехода к адекватной разностной схеме при помощи техник базисов Гребнера [7, 8], использованный в [2, 5].

Исследование выполнено за счет гранта Российского научного фонда № 24-29-00071.

Список литературы

- 1 Zemlyanukhin, A. I. Physically Admissible and Inadmissible Exact Localized Solutions in Problems of Nonlinear Wave Dynamics of Cylindrical Shells / A. I. Zemlyanukhin, A. V. Bochkarev, N. A. Artamonov // Rus. J. Nonlin. Dyn. – 2024. – Vol. 20, no. 2. – P. 219–229.
- 2 Solitary deformation waves in two coaxial shells made of material with combined nonlinearity and forming the walls of annular and circular cross-section channels filled with viscous fluid / L. I. Mogilevich [et al.] // Izvestiya VUZ. Applied Nonlinear Dynamics. – 2024. – Vol. 32, no. 4. – P. 521–540.
- 3 Вольмир, А. С. Нелинейная динамика пластинок и оболочек / А. С. Вольмир. – М. : Наука, 1972. – 432 с.
- 4 Лойцянский Л. Г. Механика жидкости и газа / Л. Г. Лойцянский. – М. : Дрофа, 2003. – 840 с.
- 5 Эволюция уединенных гидроупругих волн деформации в двух коаксиальных цилиндрических оболочках с физической нелинейностью Шамеля / Ю. А. Блинков [и др.] // Вычислительная механика сплошных сред. – 2023. – Т. 16, № 4. – С. 430–444.
- 6 Попов, В. С. Колебания стенки канала на нелинейно-упругом подвесе под воздействием пульсирующего слоя вязкого газа, находящегося в канале / В. С. Попов, Л. И. Могилевич, А. А. Попова // Известия высших учебных заведений. Радиофизика. – 2023. – Т. 66, № 10. – С. 821–834.
- 7 Gerdt, V. P. Gröbner bases and generation of difference schemes for partial differential equations / V. P. Gerdt, Yu. A. Blinkov, V. V. Mozhilkin // SIGMA. – 2006. – Vol. 2. – Art. no. 051.
- 8 Блинков, Ю. А. Дискретизация квазилинейных эволюционных уравнений методами компьютерной алгебры / Ю.А. Блинков, В. П. Гердт, К. Б. Маринов // Программирование. – 2017. – № 2. – С. 28–34.

УДК 539.3

ИЗНОС И НАПРЯЖЕНИЯ В ПОКРЫТИЯХ ЗУБЬЕВ ИЗ ОРТОТРОПНОГО МАТЕРИАЛА ПРИ КОНТАКТНОМ ВЗАИМОДЕЙСТВИИ В ЗУБЧАТЫХ ПЕРЕДАЧАХ

B. B. МОЖАРОВСКИЙ, D. С. КУЗЬМЕНКОВ, C. В. КИРГИНЦЕВА

Гомельский государственный университет им. Ф. Скорины, Республика Беларусь

Зубчатые колеса считаются очень важной частью взаимодействующих элементов деталей машин в машиностроении и на транспорте. Для зубчатых колес используются многочисленные покрытия, которые обеспечивают защиту их к износу. В настоящем исследовании ограничимся рассмотрением покрытий из композитов, в которых материал покрытия обладает анизотропными свойствами, а основание – изотропными.

В данной работе развиты математические и численные модели и теории о контактном взаимодействии изотропных и анизотропных цилиндрических тел (в том числе с покрытиями), которые применимы для построения методики по расчету износа, напряженного состояния и деформативности зубьев зубчатых колес из композитов. Принципиальная схема взаимодействия элементов зубчатых передач показана на рисунке 1.

Износ и напряжения в зубьях и в покрытиях из ортоанисотропного материала при взаимодействии зубьев определяется по разработанной методике [1–3].

Теоретической основой реализации поставленной задачи являются решения о контактном взаимодействии цилиндров с ортоанисотропным покрытием, которые моделируют контакт зубьев зубчатых колес. В работах [1, 2] дана методика расчета параметров контакта и напряжений при взаимодействии жесткого цилиндра с ортоанисотропным покрытием. Для определения линейного износа зубьев с покрытием необходимо знать размеры зоны контакта, которые легко можно определить исходя из графиков на рисунке 2.



Рисунок 1 – Схема, моделирующая контакт зубьев с покрытием

На рисунке 2 приведены зависимости изменения зоны контакта $\tilde{a} = a / a_0$ от a / h , где $a_0 = \sqrt{\frac{2PR}{\pi m}}$ – полуширина площадки контакта при контакте с ортотропным цилиндром $m = 1 / \left\{ \left[(\beta_1 + \beta_2) S_{22} \right]^{(1)} \right\}$,

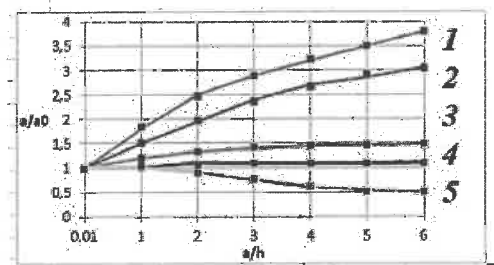


Рисунок 2 – Зависимость относительной полуширины площадки контакта a / a_0 от a / h .
Отношение модулей упругости ортотропного покрытия к основанию E_2 / E :
1 – 24; 2 – 12; 3 – 2.5; 4 – 1; 5 – 0.05

и определять ресурс работы такой передачи, делать визуализацию результатов расчета в виде графических зависимостей, таблиц и т. д.

Для расчета параметров контакта при взаимодействии зубьев зубчатых колес, в которых одно колесо имеет покрытие из композита, жестко скрепленного с упругим основанием, а другое – металлическое (изотропное), необходимо рассмотреть следующие математические модели контактного взаимодействия:

а) теоретическое описание контакта жесткого цилиндра с изотропным цилиндром, имеющим покрытие из композита;

б) теоретическое описание контакта упругого (изотропного) цилиндра с изотропным цилиндром, имеющим покрытие из композита;

Для дальнейшего исследования рассмотрим более подробно расчет параметров контакта, принимая модель «а» (см. рисунок 1).

Например, рассмотрен расчет износа зубьев зубчатого колеса с покрытиями из волокнистого материала на упругом основании по созданной программе [3]. Формула для определения линейного износа зубьев зубчатого колеса из композита при заданной интенсивности износа I будет $h_{\text{изн}} = 2av_{ck}nztI / v$, где размах зоны контакта a определяется по графикам на рисунке 2; z – количество пар зацепления ($z = 1$); t – время работы, мин; $N = nzt$ – количество циклов зацепления, v – скорость качения (обозначения параметров, входящих в формулу даны в [3]).

Пример. Пусть зубчатая передача без смазки выполнена из металлической шестерни с покрытием из композита, состоящего из полиамидной матрицы и стеклянных волокон с модулями упругости $E_m = 3500$ МПа, $E_f = 85000$ МПа, коэффициентами Пуассона $\nu_m = 0,35$, $\nu_f = 0,2$, модулями сдвига $G_m = 1300$ МПа, $G_f = 35420$ МПа, с различным процентным содержанием волокон, зацепляется с таким же металлическим колесом. Зубчатая передача имеет следующие геометрические размеры в общепринятых обозначениях: модуль $m = 4$, число зубьев $z_s = 23$, $z_k = 23$, межцентровое расстояние $A = 92$ мм, угол зацепления $\alpha = 20^\circ$, ширина венца $b = 20$ мм, $d_s = 92$ мм, $d_k = 92$ мм, $M_{\text{кр}} = 852,6$ Н·мм; $n_s = 2000$ об/мин, передаточное число $i = 1$. Толщина покрытия 2 мм. По результатам испытаний износ зубьев шестерни и колеса определялся числом циклов нагружения $N_s = 4,15 \cdot 10^7$. Необходимо определить изнашивание зубьев h при заданной интенсивности изнашивания $I_s = 4,1 \cdot 10^{-8}$, влияние объемного содержания волокна на износ, определить напряженное состояние покрытий на упругом основании численными методами. Построены графические зависимости износа для волокнистого покрытия в зависимости от объемного содержания волокна в матрице.

Список литературы

1 Можаровский, В. В. Прикладная механика слоистых тел из композитов / В. В. Можаровский, В. Е. Старжинский. – Минск : Наука и техника, 1988. – 280 с.

2 Реализация алгоритмов расчета напряженно-деформированного состояния элементов машин и трибологических систем / В. В. Можаровский [и др.] // Теоретическая и прикладная механика. – 2020. – Вып. 35. – С. 36–43.

3 Влияние расположения волокон на параметры контакта и износа для зубьев зубчатых передач из композитов / В. В. Можаровский [и др.] // Математические методы в технологиях и технике. – 2023. – № 10. – С. 71–75.